

плевромиями, лингулами и ядрами гастропод.В ориктоценозах смещаны представители разных экологических ниш. Сохранность фауны различная. Тип ископаемого ценоза — ископаемый автохтонный танатоценоз с элементами аллохтонного танатоценоза.

Распространение. Верхняя вра, средний и верхний подъярусы волжского яруса, восточный склон Северного Урала; волжский ярус Западной Сибири.

Местонахождение. Западная Сибирь, Красноярский край, Кыксинская скв. I-P (глубина 1031-1038 м); яновстанская свита.

INTEPATYPA

- І. Герасимов П.А. Руководящие ископаемые мезозоя центральных областей европейской части СССР. Ч.І. Пластинчато-жаберные, брюхоногие ладьеногие моллюски и плеченогие юрских отложений. М., Госгеолтехиздат, 1955, 273 с.
- 2. Захаров В.А. Позднеюрские и раннемеловые двустворчатые моллюски севера Сибири и условия их существования. Ч.2. Семейство Astartidae. М., Наука, 1970, с.143. (Тр. ИГиГ. вып. 113).
- 3. d' 0 r b i g n i A. In. Murchison, de Verneuil. Keyserling. Geologie de la Russie d'Europe, v. II, Paleontologie, 1845,540 c.
- 4. Pictet F. J. and Campiche G. Description des fossiles du Terroin cretace des environs de S-te Croix-Mater. paleontol. Suisse, ser. 4, pt. III, 1864-1867, 412 c.

Стратиграфия и палеонтология Сибири

ИГ КЛИМОВА

МОРФОГЕНЕЗ РАННЕМЕЛОВОГО AMMOНИТА Siberiptychites stubendorffi (Schmidt)

Аммониты семейства Polyptychitidae на севере Средней Сибири появляются с основания валанжина. Зона Темпортуснітев syzranicus — нижняя зона нижнего валанжина в этом регионе наряду с Темпортуснітев и Neotollia семейства Ставредітідае характеризуется Водуlev-skites, Siberiptychites и Astieriptychites семейства Polyptychitetae. Первые Polyptychites — P.rectangulatus (Bogosl.) появляются в самых верхних слоях указанной зоны и не представляют собой типичного элемента зонального комплекса Темпортуснітев syzranicus.

В данной статье впервые дается описание изменения морфологических признаков в онтогенезе Biberiptychites stubendorf 1 (Schmidt) — одной из руководящих форм указанной зоны с целью определения правильной родовой принадлежности. До этого исследования Siberiptychites stubendorffi (Schmidt) рассматривался в составе рода Polyptychites. Полученный результат имеет не только научное значение для уяснения системы семейства Polyptychitidae, но и прикладное при уточнении зональных комплексов, объема и номенклатуры зон нижнего подъяруса валанжина некоторых регионов Бореального пояса, а также при расчленении частных разрезов.

Семейство Polyptychitidae Spath, 1924 Род Siberiptychites Kemper, 1977 Siberiptychites stubendorffi (Schmidt) Табл. IX. фиг. I-6, рис. I-3

Ammonites polyptychus Keys. var. stubendorffi; Schmidt, 1872, c. I33, табл. Ш, фиг. I3,I4; табл. Ша, фиг. 3.

Polyptychites stubendorfii: Павлов, 1914, с. 29, табл. У., фиг. 5-7; табл. УІ, фиг. I; Бодылевский, 1949, с. 204, табл. LVI, фиг. I.

Polyptychites (Siberiptychites) stubendorffi: Kemper, 1977, с. 3. Лектотип. Ammonites polyptychus Keys.var. stubendorffi F.Schmidt, 1872, табл. Ш., фиг. I3, низовье р. Анабара, нижний валанжин, зона Темпортуснітея syzranicus.

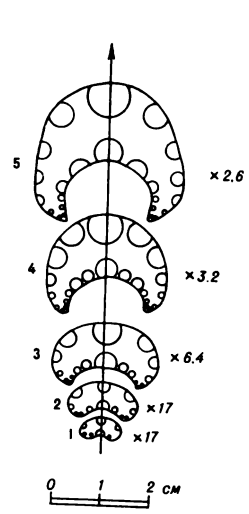


P и с.І.Протоконх Siberiptychites stubendorffi (Sohmidt) Экз. A 3/4 (xI7)

Диагноз. В онтогенезе раковина меняется от сжатой с боков до умеренно вздутой. Три стадии скульптуры: зарождения скульптуры (начинается с появления сифональных ребер), становления пучков и упорядоченных пучков. Характерны пережимы. Примасутура пятилопастная VLUID. Сутуральная лопасть воздымающаяся, образуется в результате семикратного деления внутренней лопасти.

М а т е р и а л. Пятнадцать экземпляров, признаки в онтогенезе прослежены на трех образцах.

0 п и с а н и е. Протоконх (рис. I) валиковидный, ширина I, I мм, длина 0.95 мм, цекум овальный: $\text{Ц}_{\text{I}}-0.2$ мм, $\text{Ц}_{\text{2}}-0.37$ мм; фиксатор лежит не в плоскости симметрии.



Форма раковины. Ha первых TDEX OGO**porax** раковина умеренно толстая C OKOVIльми боковыми сторонами, незаметно переходящими в округлую сифональную сторону. ная с четвертого оборота раковина становится дисковидной. Боковые стороны уплощаются, они почти под прямым углом сочленяются со слабо выпуклой сифональной стороной (табл. ІХ, фиг. І-3). У седьмого-восьмого оборотов раковина умеренно вздутая слабо выпуклые боковые стороны сокрашаются, они наклонно поставлены к широкой, аркообразной сифональной стороне (см. табл. ІХ,

риг. 4,6). Пупок на всех стадиях роста умеренно широкий, в среднем составляет 26-29% Д (см. таблицу), углубленный, ступенчатый. Стенка пупка гладкая,

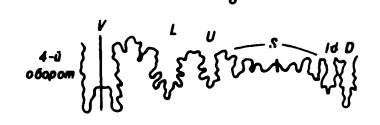
P и с. 2. Изменение поперечного сечения в онтогенезе раковины Siberiptychites stubendorffi (Schmidt)

I-5 - номера оборотов: I-3 - экз. А 3/4; 4,5экз. А 3/5а

Размеры раковины (абсолютные значения в мм и процентные относительно Д) и коэффициент ветвления Siberiptychites stubendorff1 Schmidt

Номер образца	Число оборотов	Д	Шп	В	B	T	Ш.п.:Д,	В;Д,	в:Д,	Т:Д,	К. в.	Замечания
A 3/5a	4	II	3	5	3	5	27	45	27	45	_	I радиальный пережим
A 3/5a	5	21	6	9	6,7	8,5	28	43	3 2	40	4,2	2 радиальных пережима
A 3/5a	6	29	8	13	?	12	27	45	9	4I	4,2	n n
A 3/5a	6 1/2	37	10	17	8	17	27	46	22	40	4,2	Пережимов нет
A 3/5a	7 1/3	60	17	23	12	3 0	28	3 8	20	50	4,I	* "
A 3/5a	8 1/2	78	23	31	15	50	29	40	19	64	4,3	2 пережима под ∠ 10° и ∠ 30°
A 8/9	?	25	6,5	II	7	12	26	44	28	48	3,I	I радиальный пережим
A 8/k	?	25,5	5,5	10	7	12	21	39	27	47	3,3	2 радиальных пережима
А 8/к	?	40	9	17	?	8	22	42	22	?	3,7	Пережимов нет
A 8/8	?	57	14,5	23	13	26	25	40	23	46	3,7	n 'n

Примечание. Д - диаметр, Ш.п. - ширина пупка, В - внешняя высота, в - внутренняя высота, Т - толщина, К.в. - коэффициент ветвления



27 ΙV

отвесная, только при больших диаметрах раковины она становится высокой и слабо покатой, а пупок почти воронкообразным.

Поперечное сечение. Первые три XADAKTEDUSVOTCA очень шисечением 2). DOKUM (DMC. 38-TAM оно меняется OT овальноro равными или почти равными значениями Т и В (четвертый, шестой обороты) до широкоовального (седьмой-певятый обороты), когда толщина оборота превышает ero I.5 раза и больше (см. рис. 2:табл. IX. фиг. За, 4а. 5 и таблицу).

Скульптура. Первые пва оборота гладкие. На третьем обороте появляются очень тоненькие волосовидные струйки, которые на том-пятом оборотах превращаются сифональные ребрышки, усиленные сифональной стороне (см. табл. IX. фиг. І.2). На этом завершается вая стадия развития скульптуры СТАПИЯ возникновения ребер. стадия становления пучребер -COOTBETCTEVET MEстому и началу восьмого оборотов (см. табл. IX. фиг. 3.4). В начале этой стадии на пупковом перегибе появляются короткие, косо поставленные пупковые ребра в виде защипов.

P и с. 3. Изменение лопастной линии в онтогенезе Siberiptychites stubendorffi (Schmidt) a, 6 - экз. A 3/4; в - экз. A 3/5a

I – порядковый номер линии, 2 – порядковый номер деления внутренней лопасти

возникновением начинают формироваться неясно выраженные пучки: сифональные ребра приближаются к пупковому, иногда соединяются с ним, а иногла носят характер вставных, некоторые из них раздваиваются. В начале сельмого оборота эти пучки превращаются в ясные полиптихитовые и четырехветвистые бидихотомные. Точка ветвления пупковых ребер (в начале описываемой стадии это точка соединения пупковых и сифональных ребер) находится в нижней четверти оборота. Стадия упорядоченных пучков - третья стадия скульптуры в онтогенезе описываемой формы (восьмой - начало девятого оборота) (см.табл. IX, фиг. 4.6). Короткие приподнятые пупковые ребра начинаются в верхней половине пупковой стенки. В нижней четверти боковой поверхности они разветвляются на два ребра. Сифональные ребра, в свою очередь, в первоначальном двойном пучке могут раздваиваться оба ребра, образуя бидихотомное ветвление или одно из них, обычно заднее. В этом случае образуются полиптихитовые пучки, либо наблюдается томия. Преобладают четырехветвистые пучки, тройных полиптихитовых значительно меньше, также редки пятиветвистые, которые при раздвоении переднего ребра в пучке и тройном делении запнего. Начиная с девятого оборота, пупковые ребра укорачиваются, приподнимаются, превращаются в продолговатые бугорки, расположенные на пупковом перегибе. Связь с сифональными ребрами становится неясной, пучки перестарт быть четкими, в нижней четверти оборота скульптура сильно понижается, почти сглаживается (см. табл. ІХ, фиг.6). На всех стадиях развития скульптуры наблюдаются пережимы, угол наклона которых к Д невелик. При I = 80 мм он равен или меньше 30° . Во всех остальных случаях пережимы почти совпадают с радиусом. Первичный пережим фиксирует конец первого оборота, закономерность в расположении пережимов не наблюдается. Общее направление ребер почти соответствует радиусу. Пучок ребер делает слабый сигмообразный изгиб. На сифональной стороне ребра выгибаются впереп. Количество ребер на обороте от 20 до 24, вне зависимости от онтогенетической стадии особи. т.е. есть экземпляры более или менее густоребристые.

Жилая камера сохранилась неполностью, ее размеры неизвестны, характер устья неясен. Скульптура аналогична скульптуре фрагмокона. Лопастная линия прослежена от просутуры до окончательного формирования сутуральной лопасти (s) в конце четвертого оборота (рис.3). Примасутура пятилопастная (VLUID). Размеры первичного седла: В - 0,5 мм, Ш - 0,62 мм. На первых двух оборотах насчитывается по 12 лопастных линий. Установить число линий на последующих оборотах не позволила сохранность материала. Увеличение числа

элементов идет за счет деления внутренней лопасти (I). Первое деление происходит в конце первого оборота на II-й линии: внешняя сторона лопасти I прогибается, образуртся две лопасти Iv и Id. Id глубже и шире, чем Іу. Пупковый шов в это время совмещен с седла U/Iv. Лопасть Iv на втором обороте смещается кнаружи и совпадает с пупковым швом. В ее основании образуется седло Ivv/Ivd это второе деление. Момент возникновения седла из-за особенностей сохранности зарисовать не удалось. На 24-й линии оно видно совершенно отчетливо. Третье деление фиксируется на ЗІ-й линии, когда седло Ivv/Ivd начинает прогибаться, образуется лопасть, совмещенная пупковым швом. На 37-й линии в основании этой лопасти возникает седло, через которое проходит пупковый шов, - четвертое деление, на 43-й линии седло прогибается - пятое деление. Шестое деление наблюдается на 53-й линии. Всего насчитывается семь делений, но увидеть седьмое деление не удается. Окончательно сформировавшаяся в результате семи делений сутуральная лопасть (S) наблюдается в конце четвертого оборота.

Усложнение элементов начинается в самом конце второго оборота на 25-й личии. Вначале усложняется контур вентральной лопасти (V) и седла V/L, затем очертания всех элементов внешней части лопастной линии, а с 29-й линии и ее внутренней части. Латеральная лопасть становится трехконечной, неравнозубчатой. У дорзальной лопасти центральный зубец очень длинный, два боковых очень короткие, примерно равны между собой. Седло V/L неравномерно двураздельное, большая доля его рассечена вторичной лопастыр.

Соотношение имеющихся элементов: до 30-й линии (примерно середина третьего оборота) вентральная и дорзальная попасти одинаковой глубины, затем вентральная становится наиболее глубокой. Латеральная попасть (L) по размерам в I,5 раза превышает умбиликальную. Сформировавшаяся лопастная линия характеризуется простотой, глубина всех элементов превосходит ширину. Сутуральная лопасть (S), воздымающаяся, образуется в результате семикратного деления.

И з м е н ч и в о с т ь проявляется в частоте ребер:есть формы более и менее густоребристые. В качестве отклонения следует рассматривать преобладание тройных полиптихитовых пучков в третьей стадии скульптуры у некоторых особей, значение К.в. у них составляет 3,1-3,3. Особи с таким низким значением К.в. отличаются более узким пупком и большей сдавленностью раковины (см.таблицу). Число оборотов в первых двух стадиях развития скульптуры может несколько варымовать.

Сравнения и замечания.В первых двух стадиях

развития скульптуры Siberiptychites stubendorffi (Schmidt) особенностями ребристости очень напоминает вных Bodylevskites и Astieriptychites.В стадии зарождения ребер эти таксоны идентичны ([2.c.50]. табл. І. фиг. 2). В стадии становления пучков, как показали последние исследования автора, описываемый вид неотличим от Astieriptychites tenuiptychus (Bodyl.) в сталии подиптихитовых пучков и бли-30K K DHEM OCOPOTAM Bodylevskites polyptychitiformisKlim. ([2.c.57]. табл. 2, фиг. 2) по скульптуре и форме раковины. Сходство полностыю исчезает в следующей стадии упорядоченных пучков, но возникает близость в характере скульптуры с некоторыми Polyptychites, например P.middendorffi (Pavl.) ([4, c 3I], Taox. VII, dur.2). описываемый и упомянутый. А.П.Павлов помещал в одну группу. а DUCTET Ammonites polyptychus Keys. var.stubendorffi Schmidt сматривал как самостоятельный вид рода Polyptychites [4, c. 28]. Кемпер [5]. изучая валанжинские аммониты Арктической Канады, выделил новый полоол Polyptychites(Siberiptychites) в объеме двух видов: P. (S.) stubendorffi (Schmidt), который он избрал типовым, и P. (S.) densicosta Payl. B качестве диагностических признаков этого подрода Кемпер указывает наличие пережимов в комбинации с тремя вспомогательными лопастями [5, с.3]. Как показали наши вания, развитие скульптуры в онтогенезе у Polyptychites и изучаемой формы различно. Первыми у полиптихитов зарождаются пупковые ребра, которые очень быстро, уже на четвертом обороте, начинают ветвиться и образуют четкие пучки ребер. У ранних полиптихитов нет бугорков в точке ветвления, а у поздних есть. Для полиптихитов не характерны пережимы (кроме первичного и предустьевого). одной стадии роста нет усиления сифональных ребер на сифональной стороне. У описываемого вида так же как у Bodylevskites и Astieriptychites, первыми появляются сифональные ребра, которые сразу же усиливаются на сифональной стороне, а уже затем возникают ковые. Четкие пучки ребер формируются довольно поздно, к концу седьмого оборота. Для нашей формы характерны пережимы, которые также характеризуют и указанные два рода. Сходство с полиптихитами сводится к наличию полиптихитового и бидихотомного ветвления, небольшой величине пупковых ребер и к одному и тому же типу линии. Эти признаки свойственны всему семейству Polyptychitidae. Степень различия и сходства изучаемой формы и полиптихитов позволяют подрод Polyptychites (Siberiptychites) с типовым видом Р.(S.) stubendorffi (Schmidt) рассматривать как самостоятельный рол.объем которого в настоящее время неясен. Однако морфологические признаки Polyptychites densicosta Pavl., описанного из валанжина р.Анабара ([4, c.26], табл. У, фиг.3), не дают оснований относить его к Siberiptychites, как это делает Кемпер [5, c.3]. К Siberiptychites stubendorffi(Schmidt), судя по скульптуре и форме раковины, вероятно, принадлежит аммонит, описанный H.C. Воронец из валанжина п-ва Паксы как Astieriptychites astieriformis Voronetz([I, c.83], табл. XLV фиг. 4).

Распространен и е. Нижний валанжин, зона темпоptychites syzranicus севера Средней Сибири, нижний валанжин, отложения, подстилающие слои с Polyptychites tschekanovskii, Арктической Канады.

Местонахождени е.Низовье р.Анабара, левый берег, Климовский утес, устье р.Харабыл, урочище Харабыл-Хаята (сборы И.Г.Климовой).

JUTEPATYPA

- І. В о р о н е ц Н.С. Стратиграфия и головоногие моллоски юрских и нижнемеловых отложений Лено-Анабарского района. М., Госгеолтехиздат. 1962, 237 с.
- 2. К л и м о в а И.Г. Новый род аммонитов из нижнего валанжина севера Средней Сибири;Геология и геофизика, 1978, № 12,с.50-6L
- 3. Луппов Н.П., Бодылевский В.И., Глазунова А.Е. Класс Серћа Горова. Головоногие. В кн.: Атлас руководящих форм ископаемых фаун СССР.М., Гостоптехиздат, 1949, с.183-252.
- 4. Павлов А.П. Юрские и нижнемеловые Cephalopoda Северной Сибири. - Зап. АН. Сер. 8, 1914, т.21, № 4, 68 с.
- 5. Kenper E. Biostratigraphy of the Valanginian in Swerdrup basin, distrikt of Franklin. Geol. Survey of Canada, 1977, paper 76-32, 6c.
- 6. S c h m i d t Fr. Wissenschaftliche Resultate der zur Aufsuchung eines angekündigten Mammuthcadavers von der Keiserlichen Akademie der Wissenschaften an den unteren Jenissei ausgesandten Expedition. Mem. Acad. St.-Petersb. t. XVIII, N 1, 147 c.

Стратиграфия и палеонтология Сибири

З.И. БУЛАТОВА

АСТРОРИЗИДЫ С ВЕТВЯЩЕЙСЯ РАКОВИНОЙ ИЗ МЕЛОВЫХ И ПАЛЕОГЕНОВЫХ ОТЛОЖЕНИЙ ЗАПАЛНОЙ СИБИРИ

Монографическое изучение западносибирских фораминифер отряда Astrorhizida [1.2] не решило вопросов систематического положения двух групп трубчатых форм, имеющих определенное стратиграфическое и экологическое значение. Первая, более многочисленная группа, объединяет изогнутые или прямые фрагменты раковин различных С ОТКРЫТЫМИ КОНЦАМИ, В ОСНОВНОМ ОТЛИЧАЮЩИЕСЯ СОСТАВОМ рующего материала стенки. Эти остатки встречаются почти по разрезу от валанжина до эоцена, с наибольшим скоплением и почти повсеместным распространением в кампанских отложениях. Упорядочение систематики данных форм наталкивается на значительные трудности,обусловленные их небольшими размерами, отсутствием характерных морфологических признаков, простым внутренним строением и большой изменчивостью. Среди них не найдено раковин с одним открытым концом, а вторым слепым; редко встречаются обломки с хорошо выраженным устьем. Присутствуют они в различных свитах, формированиихся в условиях не только нормального, но и солоноватоводного морского режима, в относительно глубоководных, мелководных и прибрежных фациях.

Вторую группу, с более отчетливыми диагностическими признаками [3,7], составляют дихотомирующие формы, состоящие из основной удлиненной трубки и одного ответвления. Они сравнительно немногочисленны. Первое их появление отмечается в альбе, наиболее часто встречаются в палеоцене.

Основная часть форм первой группы была включена в состав рода Rhizammina Brady (1878) и отождествлена с современным видом R.indivisa Brady. Некоторые из них относились к различным видам рода Hyperammina Brady (1878). Формы второй группы по характеру

ней стороны, экз. 334/2а, 334/26, 334/2в, 334/2г, 334/2д, х2;9,17-вид левой створки с внутренней стороны, экз. 334/3а,334/3б,х2;14 - вид правой и левой створок с внешней стороны, экз. 334/4, Щекурья-Саранпаульская скв. 5-КП, глубина 98-193 м; 18 - вид правой створки с внешней стороны, экз. 334/5, Вяткинская скв. 4-Р, глубина 1718-1725 м; 19 - вид левой створки с внешней стороны, экз. 334/6; 19а - то же, х2; 20 - вид правой створки с внешней стороны, экз. 334/7; 20а - то же, х2, Татарская скв. 2-Р, глубина 2445-2451 м, кимеридж.

Фиг. 21-25. Astarte (Astarte) cf.lopsiyaensis Zakharov: 2I, 25 - вид правой створки с внешней стороны, экз. 334/8a,334/86; 22, 24 - вид правых створок с внешней стороны, экз. 334/9a,334/96, Щекурья-Саранпаульская скв. 5-КП, глубина I4I-I93 м, кимеридж.

Фиг. 26,27. Eriphyla (Lyapinella) ex gr. asiatica Zakbarov: 26вид правой створки с внешней стороны, экз. 334/I4; 27 - вид левой створки с внешней стороны, экз. 334/I5, Кыксинская скв. I-P, глубина IO3I-IO38 м, волжский ярус.

Таблица IX

Фиг. I-6. Siberiptychites stubendorffi (Schmidt). Нижний валанжин, зона Temnoptychites syzranicus, подзона Temnoptychites simplicissimus, А 3/5а,р. Анабар,ур. Харабыл-Хаята; I, Iа, Iб -4-й оборот: I, Iа — вид сбоку, Iб — вид с сифональной стороны (I — натуральвеличина, Iа, Iб — x2); 2,2a,2б — 5-й оборот: 2,2а — вид сбоку (2-натуральвеличина, 2а — x2), 2б — вид с сифональной стороны (натуральвеличина); 3,3а — 6 I/4 оборота (натуральвеличина): 3 — вид сбоку, 3а — вид с сифональной стороны; 4,4а— 7 I/5 оборота (натуральвеличина): 4 — вид сбоку, 4а — вид с сифональной стороны; 5 — 7 I/3 оборота (натуральвеличина), поперечное сечение; 6 — 8 I/2 оборота (натуральвеличина), вид сбоку.

Таблица Х

Фиг. I. Saccorhiza dimera Bulatova, sp.n. Экземпляр, СНИИТ иМС, № 344/3, х42, Северо-Казахстанская обл., Петуховская скв. 4К, глубина 371,8-367,8 м, кампан, славгеродская свита. Вид с боковой стороны.

Фиг. 2a, 2б. Saccorhiza dimera Bulatova, sp. n. Голотип, СНИИІТиМС, № 341/3, х52, Тюменская обл., Нижнемысовская скв. IP, глубина 832,9-826,9 м, кампан, березовский горизонт; 2a — вид с боковой стороны, 2b — вид со стороны периферии.

- Фиг. 9. Klukisporites sp., там же.
- Фиг. IO. Osmunda echinata Klim., левый берег р. Хеты, I,2 км выше рч. Букатый.
 - Φur. II. Stereisporites sp.. Tam Me.
- Φ_{NI} . I2. Densoisporites velatus (Delc.et Sprum.) Delc.et Sprum., Tam we.
 - Фиг. I3. Circelina bicycla Mal., там же.
 - Фиг. I4. Leiotriletes sp., там же.
- Φ иг. I5. Tripartina variabilis Mal., там же. Все изображения ж600.

Таблица УП

Спорово-пыльцевой комплекс верхнеюрских отложений р. Хеты

- Фиг. I. Ginkgo sp., левый берег р. Хеты, I, О км выше рч. Букатый.
- Фиг. 2. Classopollis sp., там же.
- Φur. 3. Protoconiferus funarius Bolch., там же.
- Φur. 4. Quadraeculina limbata Mal., там же.
- Фиг. 5. Podocarpus sp.. там же.
- Фиг. 6. Pseudopinus texilis Bolch., левый берег р.Хеты, I, 2 км выше рч. Букатый.
 - Фиг. 7. Pseudopicea magnifica Bolch., там же.
 - Фиг. 8. Picea samoilovitschiana Rovn. там же.
 - Фиг. 9. Pseudopicea variabiliformis (Mal.) Bolch., там же.
- Фиг. IO. Pinus aff. pinaster Sol., там же. Все изображения x600.

Таблица УШ

- Фиг. I. Astarte (Astarte) cf. veneriformis Zakharov. Вид левой створки с внешней стороны, экз. 334/II, Сургутская скв. I-Р, глубина 2347-2349 м. валанжин готерив.
- Фиг. 2,3. Astarte (Astarte) cf. veneris d'Orbigni: 2 вид левой створки с внешней стороны, экз.334/I2; 3 вид правой створки с внешней стороны, экз. 334/I3, Татарская скв. 2-Р,глубина 2322-2327 м, берриас.
- Фиг. 4. Astarte sp. 1. Вид левой створки с внешней стороны, экз. 334/IO, Кыксинская скв. I-P, глубина IO3I-IO38 м.волжский ярус.
- Фиг. 5-20. Astarte (Astarte) cf.lyapinensis Zakharov: 5,8,I2, I5 вид правой створки с внешней стороны, экз. 334/Ia, 334/I6, 334/IB, 334/IR, x2; 6,7,I0,II,I6 вид левой створки с внеш-

Таблица VIII

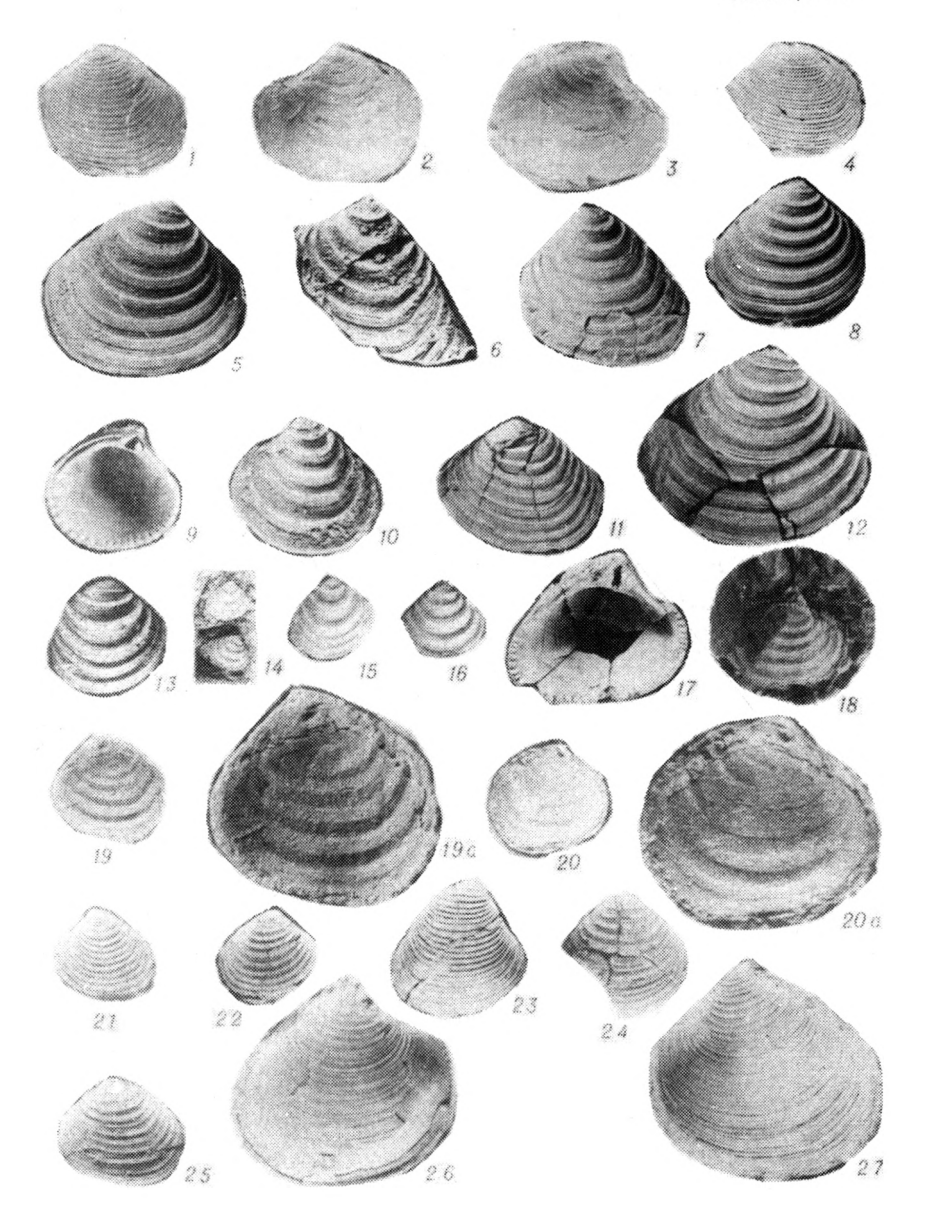
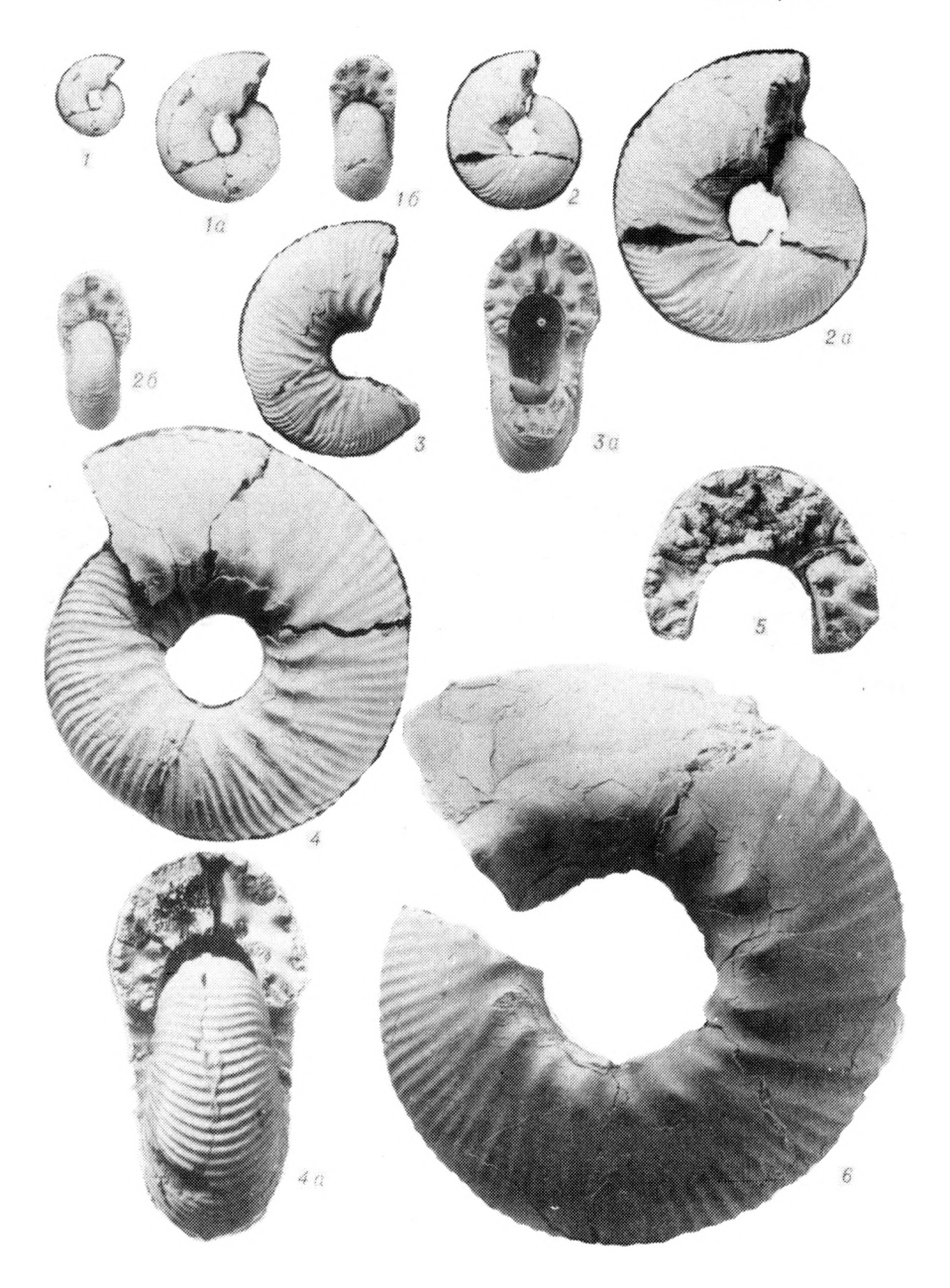


Таблица IX



Цена 70 коп.

1981

. 6